

Научная статья  
УДК 517.9  
ББК 22.161.6  
У 95  
DOI: 10.53598/2410-3225-2023-2-321-19-26

## Об автоколебаниях одной кинетической модели (Рецензирована)

Адам Дамирович Ушко

Адыгейский государственный университет, Майкоп, Россия, uschho76@mail.ru

**Аннотация.** Методами качественной теории дифференциальных уравнений рассмотрено поведение кинетической модели, в частности, фазовый портрет на диске Пуанкаре. Приведен пример системы с устойчивым циклом.

**Ключевые слова:** кинетическое уравнение, модель Селькова, модель Чумакова-Слинько, сфера (диск) Пуанкаре, кубическая автономная динамическая система на плоскости, состояние равновесия, фокус, узел, седло

Original Research Paper

## On self-oscillations of one kinetic model

Adam D. Ushkho

Adyghe State University, Maikop, Russia, uschho76@mail.ru

**Abstract.** With the use of methods of qualitative theory of differential equations, the article examines the kinetic model behavior, in particular, the phase portrait on the Poincaré disk. An example of a system with a stable cycle is given.

**Keywords:** kinetic equation, Selkov model, Slinko-Chumakov's model, Poincare sphere (disk), cubic autonomous dynamical system on a plane, equilibrium, focus, node, saddle

## Введение

В 1968 году была рассмотрена математическая модель, основанная на бимолекулярной реакции [1]. Соответствующая система нелинейных дифференциальных уравнений относительно концентраций получила название кинетические уравнения [2]. При этом нелинейность представлена многочленами третьей степени в правых частях.

В это же время советским (российским) ученым Е.Е. Сельковым была предложена нелинейная модель, описывающая фосфофруктокиназную фазу гликолитической реакции [3], получившая название по фамилии автора, модель Селькова. Аналогичные модели, расширяющие спектр действия модели и поэтому названные «модели Слинько, Чумакова-Слинько», получили свое развитие в работах [4–6]. Например, в работе [7] дано качественное исследование системы Чумакова-Слинько, адекватно описывающей химические процессы в реакции окисления молекулярного водорода на поверхностях металлических катализаторов\*. Модель Селькова получила также свое расширение на стохастический случай [8].

Несмотря на достаточную временную историю, в данной нелинейной модели ос-

---

\* Отметим одну из недавних работ в *Journal of Differential Equations*. 2019. Vol. 266, Iss. 11. P. 7638–7657, где представлено доказательство гипотезы Артеза–Льибре–Вальса о единственности предельных циклов для системы Хиггинса–Селкова и системы Селкова. При этом используется теорема о несуществовании предельных циклов системы Лиенара.

тались некоторые вопросы, требующие своего разрешения, особенно в математическом плане. В частности, не рассмотрено поведение решений системы в так называемом круге Пуанкаре. Данная работа и посвящена этому вопросу.

### Основные результаты

Рассмотрим систему\*\*

$$\begin{cases} \frac{dx}{dt} = a - bx + fy + cx^2 y, \\ \frac{dy}{dt} = d + (b+k)x - fy - cx^2 y, \quad ck \neq 0. \end{cases} \quad (1)$$

Единственным состоянием равновесия системы (1) в ограниченной части фазовой плоскости является точка  $A\left(-\frac{a+d}{k}, \frac{-ak^2 - bk(a+d)}{fk^2 + c(a+d)^2}\right)$ . Пусть  $a+d = -k$ , тогда

имеем точку  $A\left(1, \frac{b-a}{f+c}\right)$ . После переноса начала координат в точку  $A$  (сохраняя обозначения фазовых переменных  $x$  и  $y$ ) получим систему:

$$\begin{cases} \frac{dx}{dt} = \frac{bc - bf - 2ac}{f+c}x + (f+c)y + \frac{bc - ac}{f+c}x^2 + 2cxy + cx^2 y, \\ \frac{dy}{dt} = \frac{2ac - bc + fb + fk + ck}{f+c}x - (f+c)y + \frac{ac - bc}{f+c}x^2 - 2cxy - cx^2 y. \end{cases} \quad (2)$$

Определитель матрицы линейного приближения системы (2) равен

$$\Delta(0,0) = -k(f+c). \quad (3)$$

Дивергенция векторного поля системы (2) в точке  $O(0,0)$  равна

$$\sigma(0,0) = \frac{-f^2 - (2c+b)f + bc - 2ac - c^2}{f+c}. \quad (4)$$

Рассмотрим случай, когда величины (3) и (4) положительны. Для определенности положим выполненными неравенства  $f+c > 0, k < 0$ . Неравенство  $\sigma(0,0) > 0$  при выполнении условия  $f+c > 0$  равносильно неравенству

$$f^2 + (2c+b)f + c^2 + 2ac - bc < 0. \quad (5)$$

Пусть  $f < 0$ , тогда в силу неравенства  $f+c > 0$  выполняется условие  $c > 0$ . Потребуем, чтобы точка  $A$  была расположена в первом квадранте. Тогда по необходимости будет выполнено неравенство  $b-a > 0$ . Таким образом, неравенство (5) выполняется при условии

$$f_1 < f < f_2, \quad (6)$$

где  $f_{1,2} = \frac{-2c - b \mp \sqrt{b^2 + 8c(b-a)}}{2}$ .

Условие  $f+c > 0$  достаточно для выполнения неравенства

$$f > \frac{-2c - b - \sqrt{b^2 + 8c(b-a)}}{2}. \quad (7)$$

Действительно, неравенство (7) равносильно неравенству

---

\*\* Заметим, что система с меньшим числом параметров рассмотрена в работе Уихо А.Д., Дегтярев Д.Ю. Об автоколебаниях в кинетической модели гликолиза Селькова // Труды ФОРА. 2022. № 27. С. 29–34.

$f + c > \frac{-b - \sqrt{b^2 + 8c(b-a)}}{2}$ , правая часть которого является отрицательным числом.

Тем самым доказана

**Теорема 1.** Если  $f < 0, c + f > 0, b - a > 0, k = -(a + d) < 0$ , то единственное состояние равновесия  $A\left(1, \frac{b-a}{f+c}\right)$  системы (1), расположенное в ограниченной части фазовой плоскости, является простым неустойчивым топологическим узлом.

**Замечание 1.** По терминологии [9] простым топологическим узлом называется простое состояние равновесия типа «узел» или «фокус».

Далее исследуем поведение траекторий системы (1) в бесконечно удаленных частях фазовой плоскости.

Преобразование Пуанкаре [9, 10]  $x = \frac{1}{z}, y = \frac{u}{z}$  переводит систему (1) в систему:

$$\begin{cases} \frac{du}{dt} = -cu - cu^2 + (b+k)z^2 + (b-f)uz^2 + dz^3 - fu^2z^2 - auz^3, \\ \frac{dz}{dt} = -cuz + bz^3 - fuz^3 - az^4. \end{cases} \quad (8)$$

Состояниями равновесия системы (8) при  $z = 0$  являются точки:  $W_1(u = z = 0)$  – сложное состояние равновесия с отличной от нуля дивергенцией,  $W_2(u = -1, z = 0)$  – простое состояние равновесия. Для определения типа состояния равновесия  $W_1(u = z = 0)$  вначале перепишем систему (8), вводя новый масштаб времени по формуле  $d\tau = -cdt$ :

$$\begin{cases} \frac{du}{d\tau} = u + u^2 - \frac{(b+k)}{c}z^2 - \frac{(b-f)}{c}uz^2 - \frac{d}{c}z^3 + \frac{f}{c}u^2z^2 + \frac{a}{c}uz^3, \\ \frac{dz}{d\tau} = uz - \frac{bz^3}{c} + \frac{f}{c}uz^3 + \frac{a}{c}z^4. \end{cases} \quad (9)$$

С помощью преобразования  $\bar{u} = z, \bar{z} = u$  приведем систему (9) к виду:

$$\begin{cases} \frac{d\bar{u}}{d\tau} = \bar{u}\bar{z} - \frac{b}{c}\bar{u}^3 + \frac{f}{c}\bar{u}^3\bar{z} + \frac{a}{c}\bar{u}^4 \equiv P_2(\bar{u}, \bar{z}), \\ \frac{d\bar{z}}{d\tau} = \bar{z} + \bar{z}^2 - \frac{(b+k)}{c}\bar{u}^2 + \frac{(f-b)}{c}\bar{u}^2\bar{z} - \frac{d}{c}\bar{u}^3 + \frac{f}{c}\bar{u}^2\bar{z}^2 + \frac{a}{c}\bar{u}^3\bar{z} \equiv \bar{z} + Q_2(\bar{u}, \bar{z}). \end{cases} \quad (10)$$

Решение уравнения  $\bar{z} + Q_2(\bar{u}, \bar{z}) = 0$  можно представить в виде ряда  $\varphi(\bar{u}) = \frac{(b+k)}{c}\bar{u}^2 + \dots$ , а  $P_2$  также в виде

$$P_2(\bar{u}, \varphi(\bar{u})) = \frac{k}{c}\bar{u}^3 + \dots \quad (11)$$

Из (11) согласно теореме 65 [10] следует, что точка  $W_1(u = z = 0)$  – топологическое седло, если  $kc < 0$ , и топологический узел, если  $kc > 0$ .

**Замечание 2.** Топологический узел  $W_1$  будем называть сложным топологическим узлом в отличие от простого топологического узла (см. замечание 1).

Чтобы установить тип состояния равновесия  $W_2(u = -1, z = 0)$ , совершим в системе (8) параллельный перенос  $\begin{cases} u = \tilde{u} - 1, \\ z = \tilde{z}, \end{cases}$  и результат запишем в переменных  $u$  и  $z$ :

$$\begin{cases} \frac{du}{dt} = cu + F_2(u, z), \\ \frac{dz}{dt} = cz + G_2(u, z), \end{cases} \quad (12)$$

где  $F_2(u, z), G_2(u, z)$  – многочлены второй степени, не содержащие свободных и линейных членов.

Из (12) следует, что  $W_2(u = -1, z = 0)$  – простой устойчивый (неустойчивый) узел, если  $c < 0$  ( $c > 0$ ).

**Теорема 2.** Для системы вида (8), если  $c > 0, k > 0$  ( $c < 0, k < 0$ ), то точка  $W_1(u = z = 0)$  – сложный топологический узел, а  $W_2(u = -1, z = 0)$  – простой неустойчивый (устойчивый) узел, если  $c < 0, k > 0$  ( $c > 0, k < 0$ ), то точка  $W_1(u = z = 0)$  – топологическое седло, а  $W_2(u = -1, z = 0)$  – простой устойчивый (неустойчивый) узел.

Второе преобразование Пуанкаре [9, 10]  $x = \frac{v}{z}, y = \frac{1}{z}$  приводит систему (1) к системе:

$$\begin{cases} \frac{dv}{dt} = cv^2 + fz^2 + cv^3 + (f - b)vz^2 + az^3 - (b + k)v^2z^2 - dvz^3 \equiv \tilde{P}(v, z), \\ \frac{dz}{dt} = cv^2z + fz^3 - (b + k)vz^3 - dz^4 \equiv \tilde{Q}(v, z). \end{cases} \quad (13)$$

Состояние равновесия  $W_3(v = z = 0)$  системы (13) сложное, причем правые части этой системы не содержат линейных членов. Направления, в которых траектории системы (13) стремятся к точке  $W_3(v = z = 0)$ , удовлетворяют уравнению [11]:

$$z(cv^2 + fz^2) = 0. \quad (14)$$

Очевидно, уравнение (14) не имеет вещественных корней, отличных от  $z = 0$ , если  $cf > 0$ . Это означает, что любая траектория системы, входящая в точку  $W_3$ , касается в этой точке прямой  $z = 0$ . Если  $cf < 0$ , то критическими направлениями системы (13) в точке  $W_3$  являются направления  $z = 0, z = \pm \sqrt{-\frac{c}{f}} v$ .

Следуя работе [11], изучим поведение траекторий системы (13) в окрестности точки  $W_3$  при выполнении условий:

$$\begin{cases} a > 0, b - a > 0, \\ f < 0, c + f > 0, \\ d > 0, k = -(a + d), \\ b + k > 0, \\ \frac{a}{b} < \sqrt{-\frac{f}{c}}, \\ \frac{d}{b + k} < \sqrt{-\frac{f}{c}}. \end{cases} \quad (15)$$

Покажем, что в направлении  $z = 0$  в точку  $W_3$  входят только две траектории.

Составим функцию

$$\psi(u, v) = \frac{\tilde{Q}(v, uv)}{\tilde{P}(v, uv)} - u = \frac{-cu - fu^3 + bu^3v - au^4v}{c + fu^2 + cv + (f - b)u^2v + au^3v - (b + k)u^2v^2 - du^3v^2}. \quad (16)$$

Из (16) следует неравенство

$$\psi'_u(0,0) = -1 < 0. \tag{17}$$

В силу работы [11] с учетом неравенства (17) делаем вывод, что в точку  $W_3$  входит в точности одна положительная полутраектория и выходит из нее в точности одна отрицательная полутраектория. Указанные полутраектории совпадают с прямой  $z = 0$  для  $v \in (-\varepsilon, +\varepsilon)$ ,  $\varepsilon$  – сколь угодно малое положительное число.

Из условий (15) с учетом теорем 1 и 2 следует, что точки:  $A\left(1, \frac{b-a}{f+c}\right)$  – простой неустойчивый топологический узел,  $W_1$  – топологическое седло,  $W_2$  – простой неустойчивый узел. Следовательно, индекс Пуанкаре состояния равновесия  $W_3$  равен нулю [12].

Воспользуемся формулой Бендиксона [10]  $I = 1 + \frac{e-h}{2}$ , где  $e(h)$  – число эллиптических (гиперболических) секторов, примыкающих к состоянию равновесия. При  $I = 0$  имеем равенство

$$h = e + 2. \tag{18}$$

Во избежание громоздких аналитических вычислений, связанных с методом Фроммера [11], воспользуемся геометрическим способом доказательства отсутствия эллиптических секторов в окрестности точки  $W_3$ .

Изобразим расположение главных изоклин системы (1) в круге Пуанкаре (рис. 1).

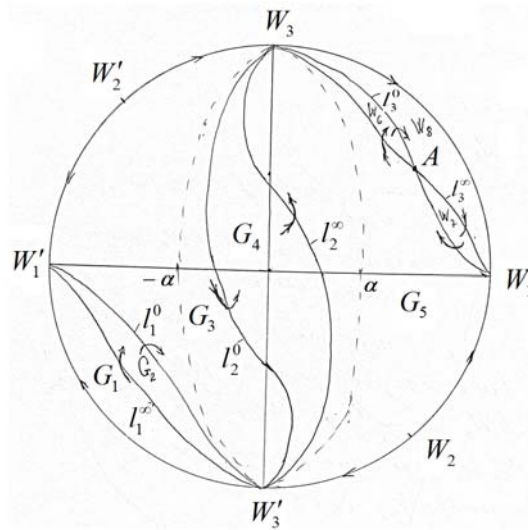


Рис. 1. Расположение главных изоклин системы (1) в круге Пуанкаре  $\left(\alpha = \sqrt{-\frac{f}{c}}\right)$

Fig. 1. Main isoclines of the system (1) in the Poincare disk model  $\left(\alpha = \sqrt{-\frac{f}{c}}\right)$

Введем следующие обозначения односвязных областей, на которые разбит круг Пуанкаре главными изоклинами.

- $G_1$  – область, ограниченная дугой  $W'_1 W'_3$  окружности круга Пуанкаре и кривой  $l_1^\infty$ ;
- $G_2$  – область, ограниченная кривыми  $l_1^\infty$  и  $l_1^0$ ;
- $G_3$  – область, ограниченная дугой  $W'_1 W'_3$  окружности круга Пуанкаре и кривыми  $l_1^0, l_2^0$ ;
- $G_4$  – область, ограниченная кривыми  $l_2^\infty$  и  $l_2^0$ ;

$G_5$  – область, ограниченная дугой  $W_1 W_3'$  окружности круга Пуанкаре, кривой  $l_2^\infty$ , дугами  $AW_3$  и  $AW_1$  кривых  $l_3^\infty$  и  $l_3^0$  соответственно;

$G_6$  – область, ограниченная дугой  $AW_3$  кривой  $l_3^\infty$  и дугой  $AW_3$  кривой  $l_3^0$ ;

$G_7$  – область, ограниченная дугой  $AW_1$  кривой  $l_3^\infty$  и дугой  $AW_1$  кривой  $l_3^0$ ;

$G_8$  – область, ограниченная дугой  $W_1 W_3$ , дугой  $AW_3$  кривой  $l_3^0$  и дугой  $AW_1$  кривой  $l_3^\infty$ .

Символом  $l_i^0$  ( $l_i^\infty$ ),  $i = \overline{1,3}$  обозначена ветвь изоклины нуля (бесконечности) системы (1).

Для дальнейшего анализа укажем знаки производных  $\frac{dx}{dt}$  и  $\frac{dy}{dt}$  в областях  $G_i$  ( $i = \overline{1,8}$ ).

$$G_1: \frac{dx}{dt} < 0, \frac{dy}{dt} > 0; \quad G_2: \frac{dx}{dt} > 0, \frac{dy}{dt} > 0; \quad G_3: \frac{dx}{dt} > 0, \frac{dy}{dt} < 0; \quad G_4: \frac{dx}{dt} > 0, \frac{dy}{dt} > 0;$$

$$G_5: \frac{dx}{dt} < 0, \frac{dy}{dt} > 0; \quad G_6: \frac{dx}{dt} > 0, \frac{dy}{dt} > 0; \quad G_7: \frac{dx}{dt} < 0, \frac{dy}{dt} < 0; \quad G_8: \frac{dx}{dt} > 0, \frac{dy}{dt} < 0.$$

Из рисунка 1 видно, что гиперболический сектор может примыкать к состоянию равновесия  $W_3$  в двух случаях: а) располагаясь в первом квадранте и пересекая дугу  $AW_3$  изоклины бесконечности  $l_3^\infty$  и дугу  $AW_3$  изоклины нуля  $l_3^0$ ; б) располагаясь в четвертом квадранте справа от изоклины бесконечности  $l_2^\infty$ .

Впрочем, случай б) объясняется тем, что траектория, исходящая из точки  $W_2$ , не может пересечь изоклину бесконечности  $l_2^\infty$ .

Так как число гиперболических секторов, примыкающих к состоянию равновесия  $W_3$ , равно двум, то согласно (18) эллиптических секторов нет в окрестности  $W_3$ .

Таким образом, справедлива

**Теорема 3.** Если коэффициенты системы (1) удовлетворяют условиям (15), то эта система имеет на экваторе сферы Пуанкаре три состояния равновесия:  $W_1(u = z = 0)$  – топологическое седло,  $W_2(u = -1, z = 0)$  – простой неустойчивый узел,  $W_3(v = z = 0)$  – сложное состояние равновесия, к которому примыкают два гиперболических сектора при отсутствии эллиптических секторов, а в ограниченной части фазовой плоскости – единственное состояние равновесия  $A\left(1, \frac{b-a}{f+c}\right)$  – простой неустойчивый топологический узел, окруженный хотя бы одним устойчивым предельным циклом.

Фазовый портрет системы изображен на рисунке 2.

**Пример 1.** Система дифференциальных уравнений

$$\begin{cases} \frac{dx}{dt} = 1 - 3x - \frac{1}{2}y + 2x^2y, \\ \frac{dy}{dt} = \frac{1}{3} + \frac{5}{3}x + \frac{1}{2}y - 2x^2y \end{cases}$$

удовлетворяет условиям теоремы 3 и имеет неустойчивый топологический узел

$A\left(1, \frac{4}{3}\right)$ , окруженный хотя бы одним устойчивым предельным циклом.

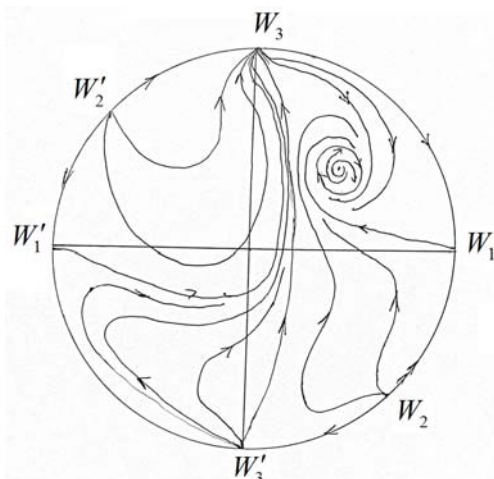


Рис. 2. Фазовый портрет системы (1) в условиях теоремы 3  
 Fig. 2. The phase portrait of the system (1) in the case of theorem 3

### Примечания

1. Lefever R. Stabilité des structures dissipatives // Bulletin de la Classe des Sciences. 1968. Vol. 54. P. 712–719. DOI: <https://doi.org/10.3406/barb.1968.62173>
2. Strogatz S.H. Nonlinear Dynamics and Chaos with Applications to Physics, Biology, Chemistry and Engineering. Second Edition. Boca Raton London; New York: CRC Press, Taylor & Francis Group, 2015. 513 p.
3. Selkov E.E. Self-oscillations in glycolysis. 1. A simple kinetic model // Eur. J. Biochem. 1968. Vol. 4. P. 79–86.
4. Кинетическая модель автоколебательной гетерогенной реакции / Г.А. Чумаков, М.М. Слинько, В.Д. Беляев, М.Г. Слинько // Доклады Академии наук СССР. 1977. Т. 234, № 2. С. 399–402; Чумаков Г.А., Слинько М.Г., Беляев В.Д. Сложные изменения скорости гетерогенной каталитической реакции // Доклады АН СССР. 1980. Т. 253, № 3. С. 654–658.
5. Лашина Е.А., Чумаков Г.А., Чумакова Н.А. Максимальные семейства периодических решений кинетической модели гетерогенной каталитической реакции // Вестник НГУ. Сер.: Математика. Механика. Информатика. 2005. Т. 5, вып. 4. С. 42–59.
6. Чумаков Г.А. Динамика нелинейной системы дифференциальных уравнений // Сибирский математический журнал. 2007. Т. 48, № 5. С. 1180–1195.
7. Потапов В.И. О бифуркациях в динамической системе Чумакова-Слинько // Вестник Нижегородского университета им. Н.И. Лобачевского. 2011. № 2 (1). С. 146–155.
8. Bashkirtseva I., Ryashko L. Stochastic sensitivity and variability of glycolytic oscillations in the randomly forced Sel'kov model // The European Physical Journal. B. 2017. Vol. 90. P. 17. URL: <https://doi.org/10.1140/epjb/e2016-70674-4>
9. Баутин Н.Н., Леонтович Е.А. Методы и приемы качественного исследования динамических систем на плоскости. Москва: Наука, 1976. 496 с.
10. Качественная теория динамических систем второго порядка / А.А. Андронов, Е.А. Леонтович, И.И. Гордон, А.Г. Майер. Москва: Наука, 1966. 568 с.
11. Фроммер М. Интегральные кривые обыкновенного дифференциального уравнения первого порядка в окрестности особой точки, имеющей рациональный характер // Успехи математических наук. 1941. Вып. 9. С. 212–253.
12. Пуанкаре А. О кривых, определяемых дифференциальными уравнениями. Москва; Ленинград: Гостехиздат, 1947. 392 с.

### References

1. Lefever R. Stabilité des structures dissipatives // Bulletin de la Classe des Sciences. 1968. Vol. 54. P. 712–719. DOI: <https://doi.org/10.3406/barb.1968.62173>
2. Strogatz S.H. Nonlinear Dynamics and Chaos with Applications to Physics, Biology, Chemistry and Engineering. Second Edition. Boca Raton London; New York: CRC Press, Taylor &

Francis Group, 2015. 513 p.

3. Selkov E.E. Self-oscillations in glycolysis. 1. A simple kinetic model // Eur. J. Biochem. 1968. Vol. 4. P. 79–86.

4. Kinetic model of an auto-oscillating heterogeneous reaction / G.A. Chumakov, M.M. Slinko, V.D. Belyaev, M.G. Slinko // Reports of the Academy of Sciences of the USSR. 1977. Vol. 234, No. 2. P. 399–402; Chumakov G.A., Slinko M.G., Belyaev V.D. Complex changes in the rate of a heterogeneous catalytic reaction // Reports of the Academy of Sciences of the USSR. 1980. Vol. 253, No. 3. P. 654–658.

5. Lashina E.A., Chumakov G.A., Chumakova N.A. Maximal families of periodic solutions in a kinetic model of a heterogeneous catalytic reaction // Bulletin of NGU. Ser.: Mathematics. Mechanics. Computer Science. 2005. Vol. 5, Iss. 4. P. 42–59.

6. Chumakov G.A. Dynamics of a nonlinear system of differential equations // Siberian Mathematical Journal. 2007. Vol. 48, No. 5. P. 1180–1195.

7. Potapov V.I. On bifurcations in the Chumakov-Slinko dynamic system // Bulletin of Nizhny Novgorod University named after N.I. Lobachevsky. 2011. No. 2 (1). P. 146–155.

8. Bashkirtseva I., Ryashko L. Stochastic sensitivity and variability of glycolytic oscillations in the randomly forced Sel'kov model // The European Physical Journal. B. 2017. Vol. 90. P. 17. URL: <https://doi.org/10.1140/epjb/e2016-70674-4>

9. Bautin N.N., Leontovich E.A. Methods and techniques of the qualitative study of dynamical systems on the plane. Moscow: Nauka, 1976. 496 p.

10. Qualitative theory of second-order dynamical systems / A.A. Andronov, E.A. Leontovich, I.I. Gordon, A.G. Maier. Moscow: Nauka, 1973. 568 p.

11. Frommer M. Integral curves of a first-order ordinary differential equation in a neighborhood of a singular point that has a rational character // Successes of Mathematical Sciences. 1941. Iss. 9. P. 212–253.

12. Poincare A. On curves defined by differential equations. Moscow; Leningrad: Gostekhizdat, 1947. 392 p.

*Статья поступила в редакцию 11.04.2023; одобрена после рецензирования 10.05.2023; принята к публикации 11.05.2023.*

*The article was submitted 11.04.2023; approved after reviewing 10.05.2023; accepted for publication 11.05.2023.*

© А.Д. Ушхо, 2023